

- statistical analysis based on gene expression profiling in the mouse liver as determined by quantitative real-time PCR. *Mutat Res.*, 747, 164–175. 2012
- 4) 熊谷雄治：早期臨床試験の国際展開の中で日本の進むべき方向性。*臨床評価*, 40, 288–295, 2013.
 - 5) Suenaga K, Takasawa H, Watanabe T, Wako Y, Suzuki T, Hamada S, Furihata C. Differential gene expression profiling between genotoxic and non-genotoxic hepatocarcinogens in young rat liver determined by quantitative real-time PCR and principal component analysis. *Mutat Res.*, 751, 73–83. 2013
 - 6) 斎藤嘉朗, 前川京子, 齊藤公亮, 佐藤陽治, 鈴木孝昌 蛋白質・内在性代謝物バイオマーカーを利用した医薬品開発の活性化にむけて. 国立医薬品食品衛生研究所報告, 131, 20–24. 2013
 - 7) 中村里香, 酒井信夫, 鮎島由二, 福井千恵, 鈴木孝昌, 中村亮介, 蜂須賀暁子, 安達玲子, 手島玲子 ショットガンプロテオミクスによる加水分解小麦とその原料であるグルテンに含まれる蛋白質の網羅的解析. 国立医薬品食品衛生研究所報告, 131, 50–57. 2013
 - 8) 鈴木孝昌 「網羅的な発現をみる マイクロアレイ解析との比較を例に」 実験医学別冊 原理からよくわかるリアルタイム PCR 完全実験ガイド (羊土社) 111–121. 2013
 - 9) 斎藤嘉朗、前川京子、田島陽子、児玉進、黒瀬光一：市販後安全性確保に係るバイオマーカーと診断. レギュラトリーサイエンス学会誌. 3, 43–55, 2013.
 - 10) Saito Y, Sai K, Kaniwa N, Tajima Y, Ishikawa M, Nishimaki-Mogami T, Maekawa K: Biomarker exploration and its clinical use. *Yakugaku Zasshi*. 133, 1373–1379, 2013.
 - 11) Ishikawa M, Tajima Y, Murayama M, Senoo Y, Maekawa K, Saito Y., Plasma and serum from nonfasting men and women differ in their lipidomic profiles. *Biol Pharm Bull*. 36, 682–685, 2013.
 - 12) Ishikawa M, Maekawa K, Saito K, Senoo Y, Urata M, Murayama M, Tajima Y, Kumagai Y, Saito Y: Plasma and Serum Lipidomics of Healthy White Adults Shows Characteristic Profiles by Subjects' Gender and Age. *PLoS One*, 9, e91806, 2014.
 - 13) Saito K, Maekawa K, Pappan KL, Urata M, Ishikawa M, Kumagai Y, Saito Y: Differences in metabolite profiles between blood matrices, ages, and sexes among Caucasian individuals and their inter-individual variations. *Metabolomics*, 10, 402–413, 2014.
 - 14) Saito K, Maekawa K, Ishikawa M, Senoo Y, Urata M, Murayama M, Nakatsu N, Yamada H, Saito Y.: Glucosylceramide and Lysophosphatidylcholines as Potential Blood Biomarkers for Drug-Induced Hepatic Phospholipidosis. *Toxicol Sci.*, 141, 377–386, 2014.
 - 15) Saito K, Ishikawa M, Murayama M, Urata M, Senoo Y, Toyoshima K, Kumagai Y, Maekawa K, Saito Y. Effects of sex, age, and fasting conditions on plasma lipidomic profiles of fasted sprague-dawley rats. *PLoS One.*, 9, e112266, 2014.
 - 16) 前川京子、斎藤嘉朗, 薬物性肝障害の遺伝的素因, 別冊「医学のあゆみ」内科領域の薬剤性障害 肝・肺を中心に 2014 年 11 月 : 11–18.
 - 17) Nishikawa K, Iwaya K, Kinoshita M, Fujiwara Y, Akao M, Sonoda M, Thiruppathi S, Suzuki T, Hiroi S, Seki S, Sakamoto T. Resveratrol increases CD68⁺ Kupffer cells co-localized with adipose differentiation-related protein (ADFP) and ameliorates high-fat-diet-induced fatty liver in mice. *Mol Nutr Food Res*. in press
 - 18) 鈴木孝昌 コンパニオン診断薬の現状と課題 「最先端バイオマーカーを用いた診断薬/診断装置開発と薬事対応」 p271–275 (技術情報協会) 2015

2. 学会発表

- 1) 鈴木孝昌 : Omics approach for the biomarker of genotoxicity by aristolochic acid. 韓国毒性学会、公衆衛生学会合同国際シンポジウム (2012. 6、韓国・ソウル)
- 2) 鈴木孝昌、田邊思帆里、山口鉄生、鈴木和博 : MYBPC2 はヒト骨格筋筋芽細胞の筋分化マーカーとなる. 第 11 回日本再生医療学会総会 (2012. 6、横浜)
- 3) 斎藤嘉朗、鹿庭なほ子、杉山永見子、黒瀬光

- 一、前川京子：臨床的に重要な副作用のゲノム解析に関する取り組みの現況と今後のメタボロミクス解析の必要性等について。第 39 回日本毒性学会学術年会（2012.7、仙台市）
- 4) 鈴木孝昌、小原有弘、松本真理子、広瀬明彦、林 真、本間正充：ジメチルアニリン異性体のマウスでの変異原性。日本環境変異原学会 第 41 回大会（2012.11、静岡）
 - 5) 熊谷雄治：非臨床試験データからのヒト安全性の予測。日本薬物動態学会第 27 回年会（2012.11、東京）
 - 6) 斎藤嘉朗、前川京子、佐井君江、鹿庭なほ子、黒瀬光一：ヒト試料を用いたバイオマーカー研究の現状と問題点。第 33 回日本臨床薬理学会学術総会（2012.11、沖縄）
 - 7) 熊谷雄治：早期臨床試験における安全性バイオマーカー。第 33 回日本臨床薬理学会学術総会（2012.12、沖縄）
 - 8) 石川将己、田島陽子、村山真由子、妹尾勇弥、前川京子、斎藤嘉朗。非食事制限下におけるヒト血液中の脂質代謝物レベルに対する試料採取要件の検討。第 85 回日本生化学会（2012.12、福岡）
 - 9) 石川将己、前川京子、妹尾勇弥、田島陽子、浦田政世、村山真由子、脇坂真美、熊谷雄治、斎藤嘉朗。ヒト血液中脂質代謝物レベルの血漿・血清差、男女差、年齢差に関する網羅的検討。日本薬学会第 133 年会（2013.3、横浜）
 - 10) 斎藤嘉朗、佐井君江、鹿庭なほ子、田島陽子、石川将己、最上(西巻)知子、前川京子：バイオマーカー探索研究とその臨床応用に向けての課題。日本薬学会第 133 年会（2013.3、横浜）
 - 11) Suzuki T., Suresh T., Oshizawa T., Maekawa K., Saito Y., Sato Y. Basic factors that influence the rat urinary proteome. 第 13 回国際毒性学会（2013.7、韓国・ソウル）
 - 12) 斎藤嘉朗、鹿庭なほ子、佐井君江、花谷忠昭、中村亮介、前川京子：ゲノミクスおよびメタボロミクス解析によるバイオマーカー探索。第 16 回日本医薬品情報学会学術大会。（2013.8、名古屋）
 - 13) 田島陽子、前川京子、妹尾勇弥、浦田政世、石川将己、村山真由子、頭金正博、斎藤嘉朗：ヒト尿中脂質代謝物の基本的性質(性差および年齢差、安定性)に関する網羅的検討。第 86 回日本生化学会大会。（2013.9、横浜）
 - 14) 石川 将己、前川 京子、妹尾 勇弥、田島 陽子、齊藤 公亮、浦田 政世、村山 真由子、脇坂 真美、熊谷 雄治、斎藤 嘉朗：バイオマーカー探索・検証のための、ヒト血液中高度不飽和脂肪酸代謝物レベルに
関する基盤的検討。第 86 回日本生化学会大会。（2013.9、横浜）
 - 15) Suresh T., Oshizawa T., Maekawa K., Saito Y., Sato Y., Suzuki T. Improvement of Rat Urinary Proteomics by a Differential Precipitation of Proteins. Human Proteome Organization 12th World Congress (2013.9、横浜)
 - 16) 前川京子、石川将己、妹尾勇弥、田島陽子、齊藤公亮、浦田政世、村山真由子、熊谷雄治、斎藤嘉朗：バイオマーカー探索・検証のためのヒト血液中脂質代謝物レベルに関する網羅的検討。日本薬物動態学会。（2013.10、東京）
 - 17) Saito K, Maekawa K, Pappan KL, Urata M, Ishikawa M, Kumagai Y, Saito Y: The difference in the hydrophilic metabolite profiles between plasma and serum in human subject. 日本薬物動態学会。（2013.10、東京）
 - 18) Saito K, Maekawa K, Pappan KL, Urata M, Ishikawa M, Kumagai Y, Saito Y: The difference in the metabolite profiles between plasma and serum, ages or sexes, and their inter-individual variations in human subjects. 10th international ISSX meeting (2013.10、カナダ・トロント)
 - 19) Ishikawa M, Maekawa K, Senoo Y, Tajima Y, Saito K, Urata M, Murayama M, Kumaga Y, Saito Y: Lipidomic profiles in blood from fasted healthy adults vary between plasma and serum and by subject's genders and ages. 10th international ISSX meeting (2013.10、カナダ・トロント)
 - 20) 鈴木孝昌、Suresh Thiruppathi、本間正充、鈴木和博、佐藤陽治 次世代 DNA シークエンサーの染色体異常解析への応用 日本環境変異原学会第 42 回大会（2013.11、岡山）
 - 21) スレッシュ ティルパッティ、斎藤嘉朗、本間正充、佐藤陽治、鈴木孝昌 ヘモグロビンアダクトーム； 環境変異原に対する暴露マーカーとしての新しいアプローチ 日本環境変異原学会第 42 回大会（2013.11、岡山）
 - 22) 降旗千恵、櫻井幹也、渡辺貴志、鈴木孝昌 Toxicogenomics/JEMS·MMS V: クリセン投与 48 時間後までのマウス肝臓における遺伝子発現変化 日本環境変異原学会第 42 回大会（2013.11、岡山）
 - 23) Suzuki T., Suresh T., Yamada M., Honma M., Suzuki K., Saito Y. Use of the next generation sequencers for the evaluation of

- genomic integrity of cellular therapy products. 11th International Conference on Environmental Mutagens (2013.11、ブラジル・Foz do Iguaçu)
- 24) 齊藤公亮, 前川京子, 浦田政世, 村山真由子, 妹尾勇弥, 石川将己, 田島陽子, 中津則之, 山田弘, 斎藤嘉朗: メタボロミクスを用いた肝臓性リン脂質症の血中バイオマーカー探索. 第34回日本臨床薬理学会学術総会 (2013.12、東京)
- 25) 石川将己, 前川京子, 齊藤公亮, 浦田政世, 田島陽子, 村山真由子, 妹尾勇弥, 熊谷雄治, 斎藤嘉朗: ラット血清中の内因性代謝物レベルの雌雄差に関する網羅的検討. 第134回日本薬学会年会 (2014.03、熊本)
- 26) 齊藤公亮, 前川京子, 浦田政世, 村山真由子, 妹尾勇弥, 石川将己, 中津則之, 山田弘, 斎藤嘉朗: 脂質メタボロミクスを用いた薬剤性リン脂質症の肝バイオマーカー探索. 第34回日本薬学会年会 (2014.3、熊本)
- 27) 前川京子, 齊藤公亮, 山田弘, 斎藤嘉朗: 動物モデルを用いた医薬品化合物によるリン脂質症の脂質メタボローム解析. 第34回日本薬学会年会 (2014.3、熊本)
- 28) Suresh T., Maekawa K., Saito Y., Sato Y., Suzuki T. Individual variations in the human urinary proteome in relation to rat. The 3rd International Conference on Personalized Medicine (2014.6、チェコ・プラハ)
- 29) Saito K, Urata M, Toyoshima K, Ishikawa M, Murayama M, Tajima Y, Senoo Y, Takemoto K, Kumagai Y, Maekawa K, Saito Y.: Comparison of plasma lipidomic profile of humans with preclinical animals. 19th North American ISSX and 29th JSSX Joint Meeting (2014.10、米国・サンフランシスコ).
- 30) Maekawa K, Saito K, Pappan K, Ishikawa M, Urata M, Tajima Y, Murayama M, Kumagai Y, Saito Y.: Impact of gender, age, fed/fasted state of rats on their serum hydrophilic metabolites. 19th North American ISSX and 29th JSSX Joint Meeting (2014.10、米国・サンフランシスコ).
- 31) Saito Y, Saito K, Ishikawa M, Urata M, Tajima Y, Inoue M, Kumagai Y, Pappan K, Maekawa K.: Metabolomic profiles in rat blood vary between genders, ages and fasting conditions, and their qualitative comparisons with human samples. 2014 AAPS Annual Meeting and Exposition (2014.11、米国・サンディエゴ).
- 32) Maekawa K., Saito K., Ishikawa M., Minamino N., Kumagai Y., Saito Y.: Metabolomic biomarker exploration highlights issues of species specificity. KSCPT-JSCPT Joint Symposium (2014.11、韓国・プサン)
- 33) スレッシュ テイルパッティ、斎藤嘉朗、本間正充、佐藤陽治、鈴木孝昌 変異原暴露モニタリング手法としての蛋白質アダクトミクス 日本環境変異原学会第43回大会 (2014.12、東京)
- 34) Suzuki T., Suresh T. Protein adductome analysis for the human exposure monitoring to mutagens. The 4th Asian Conference on Environmental Mutagens (2014.12、インド・Kolkata)
- 35) 斎藤嘉朗, 齊藤公亮, 児玉進, 熊谷雄治, 前川京子 ヒト試料を用いたバイオマーカー研究のためのレギュラトリーサイエンス。第35回日本臨床薬理学会学術総会 (2014.12、愛媛)
- 36) Saito Y., Maekawa K., Saito K.: Safety Biomarker Exploration by Metabolomics. 3rd Annual Seoul-Kitasato Joint Symposium (2015.1、東京)
- 37) 鈴木孝昌 医薬品開発においてヒト内在性物質を測定する際の定量分析法に関する留意点(案)の概要:規制の重要性と今後の課題 第6回JBFシンポジウム (2015.2、東京)
- 38) 斎藤嘉朗, 齊藤公亮, 前川京子 Metabolomics の安全性バイオマーカー研究への応用。第21回HAB研究機構学術年会 (2015.5、東京)

H. 知的財産権の出願・登録状況 :

1. 特許出願
なし
2. 実用新案登録
なし
3. その他
特になし

表1 用いたラット検体の種類と検体情報

Group	sex	age	weight	Number of samples	Fasting	Sampling time
G1	Male	10 weeks	349.22±20.65	11	16 hr	10:00 AM
G2	Female	10 weeks	227.72±14.96***	11	16 hr	10:00 AM
G3	Male	30 weeks	577.76±37.27†††	13	16 hr	10:00 AM
G4	Female	30 weeks	305.42±24.18****†††	12	16 hr	10:00 AM
G5	Male	10 weeks	405.9±26.98\$\$\$	11	No	10:00 AM
G6	Male	10 weeks	361.64±32.93	11	22 hr	10:00 AM
G7	Male	10 weeks	347.57±13.37	11	22 hr	4:00 PM

***, p < 0.005 for the comparison between male and female rats of same aged groups (Group 1 vs. Group 2, Group 3 vs. Group 4).

†††, p < 0.005 for the comparison between young and old rats of same sex groups (Group 1 vs. Group 3, Group 2 vs. Group 4).

\$\$\$, p < 0.005 for the comparison between fasting and nonfasting rats of same age and sex groups (Group 1 vs. Group 5).

表2 用いた健常白人の情報と検体の種類

Groups	[CMY]	[CFY]	[CMO]	[CFO]	Statistical significance
	Young male	Young female	Elderly male	Elderly female	
Gender	Male	Female	Male	Female	
Number	15	15	15	15	
Median age [range]	29 [25-33]	28 [25-34]	59 [55-64]	59 [55-63]	
Median Weight (Kg) [range]	78 [52.2-113.9]	93.4 [59.9-147.4]	75.6 [63.5-116.1]	90.7 [62.6-114.3]	[CMY] vs. [CFY] (N.S), [CMO] vs. [CFO] (N.S), [CMY] vs. [CMO] (N.S), [CFY] vs. [CFO] (N.S)
Median height (cm) [range]	172.7 [154.9-185.4]	162.6 [149.9-182.9]	177.8 [165.1-190.5]	162.6 [152.4-175.3]	[CMY] vs. [CFY] (p=0.017), [CMO] vs. [CFO] (p=0.0001), [CMY] vs. [CMO] (p=0.032), [CFY] vs. [CFO] (N.S)
Median BMI [range]	26.2 [18.0-36.6]	35.4 [24.9-49.7]	24.5 [19.5-34.9]	32.7 [26.1-43.3]	[CMY] vs. [CFY] (p=0.042), [CMO] vs. [CFO] (p=0.0008), [CMY] vs. [CMO] (N.S), [CFY] vs. [CFO] (N.S)
matrices	plasma/serum	plasma/serum	plasma/serum	plasma/serum	
freeze-thaw (plasma and serum)	2 and 10 times	2 times	2 times	2 times	

N.S: not significant

表3 用いた健常日本人の情報と検体の種類

Groups	[JMY]	[JFY]	[JMO]	[JFO]	Statistical significance
	Japanese Young male	Japanese Young female	Japanese Elderly male	Japanese Elderly female	
Gender	Male	Female	Male	Female	
Number	15	15	15	15	
Median age [range]	32 [25-35]	32 [25-35]	60 [55-64]	60 [55-65]	
Median Weight (Kg) [range]	64 [53-72]	54 [44-73]	65 [53-83]	51 [43-61]	[JMY] vs. [JFY] (p=0.0054), [JMO] vs. [JFO] (p<0.0001), [JMY] vs. [JMO] (N.S), [JFY] vs. [JFO] (N.S)
Median height (cm) [range]	171 [165-180]	162 [151-175]	167 [161-182]	156 [143-161]	[JMY] vs. [JFY] (p=0.0001), [JMO] vs. [JFO] (p<0.0001), [JMY] vs. [JMO] (N.S), [JFY] vs. [JFO] (p=0.0039)
Median BMI [range]	22 [19-24]	20 [19-25]	23 [20-25]	21 [18-25]	[JMY] vs. [JFY] (N.S.), [JMO] vs. [JFO] (p=0.0265), [JMY] vs. [JMO] (p=0.0161), [JFY] vs. [JFO] (N.S.)
matrices	plasma	plasma	plasma	plasma	

N.S: not significant

表4 本研究に用いた若年健常男性(日本人、黒人、白人)の情報と検体の種類

Groups	[JMY]	[AMY]	[CMY]	Statistical significance
	Japanese Young male	African Young male	Caucasian Young male	
Gender	Male	Male	Male	
Number	15	15	15	
Median age [range]	32 [25-35]	29 [26-33]	29 [25-33]	
Median Weight (Kg) [range]	64 [53-72]	74 [54-130]	78 [52.2-113.9]	[JMY] vs. [AMY] (p=0.0037), [JMY] vs. [CMY] (p=0.0225), [AMY] vs. [CMY] (N.S.)
Median height (cm) [range]	171 [165-180]	180 [165-196]	172.7 [154.9-185.4]	[JMY] vs. [AMY] (p=0.0037), [JMY] vs. [CMY] (p=0.0062), [AMY] vs. [CMY] (p=0.0379)
Median BMI [range]	22 [19-24]	22 [18-34]	26.2 [18.0-36.6]	[JMY] vs. [AMY] (N.S.), [JMY] vs. [CMY] (p=0.0062), [AMY] vs. [CMY] (N.S.)
matrices	plasma	plasma	plasma	

N.S: not significant

表5 測定したイオン性代謝物の大分類と主な代謝物

大分類	主な代謝物
アミノ酸	グリシン・セリン・スレオニン・グルタミン酸・アルギニン・システイン・3-メチルヒスチジン・ピログルタミン
ペプチド	ガンマグルタミルバリン・ブラジキニン・フェニルアラニルフェニルアラニン
糖	ピルビン酸・乳酸・ブドウ糖
エネルギー	クエン酸・リン酸・マレイイン酸
脂質	2-グリセロパルミチン酸・1-グリセロアラキドン酸・グリコール酸・タウロコール酸・ミリストレン酸・リノレン酸・ミリスチン酸・パルミトレン酸・硫化ブレグナンジオール・硫化ブレグネノロン・硫化アンドロゲンジオール・硫化デヒドロイソアンドロステロン
核酸	イノシン・キサンチン・ウラシル
補因子・ビタミン	ビリルビン・ビリベジン・パントテン酸

表6 雄、雌特異的発現蛋白質

Male Specific Protein		Female Specific Protein			
Protein abbreviation	Protein Description	Protein abbreviation	Protein Description		
SPBP_RAT	Prostatic spermine-binding protein OS=Rattus norvegicus GN=Sbp PE=1 SV=1	31232	BRC2A_RAT	Breast cancer type 2 susceptibility protein homolog OS=Rattus norvegicus GN=Brc2 PE=1 SV=1	376281
22P2_RAT	Cystatin-related protein 2 OS=Rattus norvegicus GN=Op2 PE=2 SV=1	21456	DYH12_RAT	Dynein heavy chain 12, exon 16 OS=Rattus norvegicus GN=Dnah12 PE=2 SV=2	359927
22P1_RAT	Cystatin-related protein 1 OS=Rattus norvegicus GN=Op1 PE=1 SV=1	21446	ITPR1_RAT	Inositol 1,4,5-trisphosphate receptor type 1 OS=Rattus norvegicus GN=Itpr1 PE=1 SV=2	316486
TGM4_RAT	Protein-glutamine gamma-glutamyltransferase 4 OS=Rattus norvegicus GN=Tgm4 PE=1 SV=1	75956	SPTA2_RAT	Spectrin alpha chain, brain OS=Rattus norvegicus GN=Sptan1 PE=1 SV=2	285281
KACA_RAT	Ig kappa chain C region, A allele OS=Rattus norvegicus GN=Kac1 PE=1 SV=1	11896	MAP1B_RAT	Microtubule-associated protein 1B OS=Rattus norvegicus GN=Map1b PE=1 SV=2	270332
REG3G_RAT	Regenerating islet-derived protein 3 gamma OS=Rattus norvegicus GN=Reg3g PE=2 SV=1	19473	ACACA_RAT	Acetyl-CoA carboxylase 1 OS=Rattus norvegicus GN=Acaca PE=1 SV=1	296678
ACTS_RAT	Actin, alpha skeletal muscle OS=Rattus norvegicus GN=Acta1 PE=2 SV=1	4236	ROS_RAT	Proto-oncogene tyrosine-protein kinase ROS OS=Rattus norvegicus GN=Ros1 PE=2 SV=1	283884
PSC2_RAT	Prostatic steroid-binding protein 2 OS=Rattus norvegicus GN=Pabpc2 PE=1 SV=1	13163	F1C1_RAT	1-phosphatidylinositol-4,5-bisphosphate phosphodiesterase epsilon-1 OS=Rattus norvegicus GN=F1c1 PE=1 SV=1	256556
Lcn5_RAT	Epididymal-specific lipocalin-5 OS=Rattus norvegicus GN=Lcn5 PE=1 SV=2	20828	TF3C1_RAT	General transcription factor 3C polypeptide 1 OS=Rattus norvegicus GN=Gtf3c1 PE=1 SV=1	246004
SC1A1_RAT	Solute carrier organic anion transporter family member 1A1 OS=Rattus norvegicus GN=Sloc1a1 PE=1 SV=1	75782	FAM88A_RAT	Protein FAM88A OS=Rattus norvegicus GN=Fam88a PE=2 SV=2	239393
PSC1_RAT	Prostatic steroid-binding protein C1 OS=Rattus norvegicus GN=Pabpc1 PE=1 SV=1	13096	OTOF_RAT	Otoferlin OS=Rattus norvegicus GN=Otof PE=1 SV=2	227522
SVS2_RAT	Seminal vesicle secretory protein 2 OS=Rattus norvegicus GN=Sv2a PE=1 SV=1	45666	MYO9B_RAT	Myosin-Xb OS=Rattus norvegicus GN=Myo9b PE=1 SV=1	228380
DFB60_RAT	Beta-defensin 50 OS=Rattus norvegicus GN=Defb60 PE=3 SV=1	6183	MYH3_RAT	Myosin-3 OS=Rattus norvegicus GN=Myh3 PE=2 SV=1	224746
SGCA2_RAT	Serotransferrin 2A member 2 OS=Rattus norvegicus GN=Sgt2a2 PE=1 SV=1	11038	MYH4_RAT	Myosin-4 OS=Rattus norvegicus GN=Myh4 PE=2 SV=1	223553
MSMBL_RAT	Beta-microseminoprotein OS=Rattus norvegicus GN=Mimb PE=1 SV=1	13311	PGCA_RAT	Aggrecan core protein OS=Rattus norvegicus GN=Acn PE=1 SV=2	222580
CATS_RAT	Cathepsin S OS=Rattus norvegicus GN=Cats PE=2 SV=1	37437	MYO16_RAT	Myosin-XVI OS=Rattus norvegicus GN=Myo16 PE=1 SV=1	213123
SMR1_RAT	SMR1 protein OS=Rattus norvegicus GN=Voc1 PE=1 SV=1	16017	PCSK5_RAT	Proprotein convertase subtilisin/kexin type 5 (Fragment) OS=Rattus norvegicus GN=Prots5 PE=2 SV=2	212487
AK1A1_RAT	Alcohol dehydrogenase [NADH]-OS=Rattus norvegicus GN=Ahr1a1 PE=1 SV=2	36711	KIF1B_RAT	Kinesin-like protein Kif1b OS=Rattus norvegicus GN=Kif1b PE=1 SV=2	205411
LEGS_RAT	Gelecidin 5 OS=Rattus norvegicus GN=Gals5 PE=1 SV=2	16414	PC210_RAT	Nuclear pore membrane glycoprotein 210 OS=Rattus norvegicus GN=Pom210 PE=1 SV=1	204943
SO1A3_RAT	Solute carrier organic anion transporter family member 1A3 OS=Rattus norvegicus GN=Sloc1a3 PE=2 SV=2	75365	BRC2A1_RAT	Breast cancer type 1 susceptibility protein homolog OS=Rattus norvegicus GN=Brcat1 PE=1 SV=1	203004
SVS4_RAT	Seminal vesicle secretory protein 4 OS=Rattus norvegicus GN=Sv4a PE=1 SV=1	12098	LKAP1_RAT	Lck-like 1 OS=Rattus norvegicus GN=Lksp1 PE=1 SV=1	196632
MVPB_RAT	Myrophil collagenase OS=Rattus norvegicus GN=Mvp1 PE=2 SV=1	55528	SI1L2_RAT	Signal-induced proliferation-associated 1-like protein 2 OS=Rattus norvegicus GN=Sipa1l2 PE=2 SV=1	191530
PPT2_RAT	Lysosomal hydrolase PPT2 OS=Rattus norvegicus GN=Ppt2 PE=2 SV=1	34675	MADD_RAT	MAP kinase-activating death domain protein OS=Rattus norvegicus GN=Madd PE=1 SV=1	179308
SC1A5_RAT	Solute carrier organic anion transporter family member 1A5 OS=Rattus norvegicus GN=Sloc1a5 PE=2 SV=2	76098	ABC8C_RAT	ATP-binding cassette transporter sub-family C member 8 OS=Rattus norvegicus GN=Abcc8 PE=1 SV=4	176668
HBB1_RAT	Hemoglobin subunit beta-1 OS=Rattus norvegicus GN=Hbb1 PE=1 SV=3	16083	SYNU1_RAT	Synaptotagmin I OS=Rattus norvegicus GN=Syn1 PE=1 SV=3	173970
DNS2B_RAT	Decyribonuclease-2-beta OS=Rattus norvegicus GN=Dnase2b PE=1 SV=1	40963	TOP2A_RAT	DNA topoisomerase 2-alpha OS=Rattus norvegicus GN=Top2a PE=2 SV=1	173863
ASMXA_RAT	Acid sphingomyelinase-like phosphodiesterase 3a OS=Rattus norvegicus GN=Smpd3a PE=2 SV=1	50377	SLC11_RAT	Sltt homolog 1 protein OS=Rattus norvegicus GN=Sltt PE=1 SV=1	173434
ARF1_RAT	ADP-ribosylation factor 1 OS=Rattus norvegicus GN=Arf1 PE=1 SV=2	20741	P3CQ2_RAT	Phosphatidylinositol-4-phosphate 3-kinase C2 domain-containing gamma polypeptide OS=Rattus norvegicus GN=Plk3c2g PE=2 SV=1	173147
TERA_RAT	Transitional endoplasmic reticulum ATPase OS=Rattus norvegicus GN=Vcp PE=1 SV=3	56977	RERE_RAT	Arginine-glycine-rich acid dipeptide repeat protein OS=Rattus norvegicus GN=Rere PE=2 SV=2	172948
RAC1_RAT	Ras-related C3 botulinum toxin substrate 1 OS=Rattus norvegicus GN=Ract1 PE=1 SV=1	21835	MUC2_RAT	Mucin-2 (Fragment) OS=Rattus norvegicus GN=Muc2 PE=1 SV=1	172656
CRIS1_RAT	Cysteine-rich secretory protein 1 OS=Rattus norvegicus GN=Crisp1 PE=2 SV=1	26741	NMDX2_RAT	Glutamate (NMDA) receptor subunit epsilon-2 OS=Rattus norvegicus GN=Grin2b PE=1 SV=1	167676
ENPP5_RAT	Extracellular pyrophosphatase/phosphodiesterase family member 5 OS=Rattus norvegicus GN=Enpp5 PE=1 SV=2	54483	MRP6_RAT	Multidrug resistance-associated protein 6 OS=Rattus norvegicus GN=Abcb6 PE=2 SV=1	166771
GSTM2_RAT	Glutathione S-transferase Mu 2 OS=Rattus norvegicus GN=Gstm2 PE=1 SV=2	25657	SYN2Q2_RAT	Synaptotagmin 2 OS=Rattus norvegicus GN=Syn2 Pe=1 SV=2	166414
GSTM3_RAT	Glutathione S-transferase Yb-3 OS=Rattus norvegicus GN=Gstm3 Pe=1 SV=2	25635	NOS1_RAT	Nitric oxide synthase, brain OS=Rattus norvegicus GN=Nos1 PE=1 SV=1	161827
AHK2L2_RAT	1,5-anhydro-D-fructose reductase OS=Rattus norvegicus GN=Ahk2l2 Pe=2 SV=1	34783	ROCK1_RAT	Rho-associated protein kinase 2 OS=Rattus norvegicus GN=Rock2 PE=1 SV=1	160475
GSTM1_RAT	Glutathione S-transferase Mu 1 OS=Rattus norvegicus GN=Gstm1 PE=1 SV=2	26068	SHANZ_RAT	SH3 and multiple ankyrin repeat domains protein 2 OS=Rattus norvegicus GN=Shanz2 PE=1 SV=2	159099
MYO1E_RAT	Myosin-1e OS=Rattus norvegicus GN=Myo1e Pe=2 SV=1	127374	DMBT1_RAT	Deleted in malignant brain tumors 1 protein 1 OS=Rattus norvegicus GN=Dmbt1 PE=1 SV=1	158671
GAST_RAT	Growth arrest-specific protein 7 OS=Rattus norvegicus GN=Gast7 PE=2 SV=2	46523	MED23_RAT	Mediator of RNA polymerase II transcription subunit 23 OS=Rattus norvegicus GN=Med23 PE=2 SV=2	158009
LRCS9_RAT	Leucine-rich repeat-containing protein 59 OS=Rattus norvegicus GN=Lrct59 Pe=1 SV=1	35304	CNTPL_RAT	Contactin-associated protein 1 OS=Rattus norvegicus GN=Cntpl1 PE=1 SV=1	157765
SC1A4_RAT	Solute carrier organic anion transporter family member 1A4 OS=Rattus norvegicus GN=Sloc1a4 PE=2 SV=1	74657	MET_PAT	Hepatocyte growth factor receptor OS=Rattus norvegicus GN=Met PE=1 SV=1	156161
GBB8_RAT	Guanine nucleotide-binding protein subunit beta-5 OS=Rattus norvegicus GN=Gnb5 PE=2 SV=1	36605	RIGIPIR_RAT	Rab3 GTPase-activating protein non-catalytic subunit OS=Rattus norvegicus GN=Rab3gap1 PE=1 SV=2	155929
DDAH1_RAT	N(G)-dimethylarginine dimethylaminohydrolase 1 OS=Rattus norvegicus GN=Ddah1 PE=1 SV=3	31805	VGRF2_RAT	Vascular endothelial growth factor receptor 3 OS=Rattus norvegicus GN=Flt4 PE=2 SV=1	155329
CMD_RAT	Catepsin D OS=Rattus norvegicus GN=Cmd Pe=2 SV=1	50322	CSK1_RAT	Caskin-1 OS=Rattus norvegicus GN=Csk1 Pe=1 SV=1	150982
CAH1_RAT	Carbonic anhydrase 1 OS=Rattus norvegicus GN=Ca1 Pe=1 SV=1	26336	PARD3_RAT	Partitoning defective 3 homolog OS=Rattus norvegicus GN=Par3 Pe=1 SV=1	150041
ISK3_RAT	Serine protease inhibitor Kazal-type 3 OS=Rattus norvegicus GN=Spink3 Pe=1 SV=1	8802	CD45_RAT	Leukocyte common antigen OS=Rattus norvegicus GN=Ippro PE=2 SV=2	144776
R811B_RAT	Ras-related protein Rab-1B OS=Rattus norvegicus GN=Rab1b Pe=2 SV=4	24686	RGRF1_RAT	Rat-specific guanine nucleotide-releasing factor 1 OS=Rattus norvegicus GN=Rasgrf1 Pe=1 SV=1	143774
FFRP_RAT	Prostaglandin F2 receptor negative regulator OS=Rattus norvegicus GN=Pigf1 Pe=1 SV=1	99636	SMC1A_RAT	Structural maintenance of chromosomes protein 1A OS=Rattus norvegicus GN=Smc1a Pe=1 SV=1	143743
RGN_RAT	Regucalcin OS=Rattus norvegicus GN=Rgn Pe=1 SV=3	33938	MDR1_RAT	Multidrug resistance protein 1 OS=Rattus norvegicus GN=Abcb1 Pe=2 SV=1	141925
MYO1B_RAT	Myosin-1b OS=Rattus norvegicus GN=Myo1b Pe=2 SV=1	132661	L1CAM_RAT	Neural cell adhesion molecule L1 OS=Rattus norvegicus GN=Lcam Pe=2 SV=3	141816
GPK5_RAT	Epididymal secretory glutathione peroxidase OS=Rattus norvegicus GN=Gpx5 Pe=2 SV=1	25956	SYVG_RAT	Vav1-RNA synthetase OS=Rattus norvegicus GN=Vav Pe=2 SV=2	141535
LRCC7_RAT	Leucine-rich repeat-containing protein 7 OS=Rattus norvegicus GN=Lrrc7 Pe=1 SV=1	168692	CLAP2_RAT	Clap-associated protein 2 OS=Rattus norvegicus GN=Claap2 Pe=2 SV=1	141463

表7 健常日本人尿のばらつきの要因となるペプチドとその同定スコア

表8 健常白人尿のばらつきの要因となるペプチドとその同定スコア

Prot Description - Right side PCA	Score	Accession	Prot Description - Left side PCA	Score	Accession
7861 Alpha-1-antichymotrypsin	62.06	AACT_HUMAN	8084 Amyloid beta A4 protein	72.93	A4_HUMAN
9755 Alpha-1B-glycoprotein	116.16	A1BG_HUMAN	14091 Asialoglycoprotein receptor 1	79.5	ASGR1_HUMAN
16254 Alpha-N-acetylglucosaminidase	53.6	ANAG_HUMAN	4051 Basement membrane-specific heparan sulfate proteo	79.67	PGBM_HUMAN
8290 Biotinidase	94.15	BTD_HUMAN	11803 Basigin	52.94	BASI_HUMAN
10024 Complement C1r subcomponent-like protein	54.41	C1RL_HUMAN	20304 Cadherin-2	43.14	CADH2_HUMAN
6496 Corticosteroid-binding globulin	75.73	CBG_HUMAN	7551 CD209 antigen	59.53	CD209_HUMAN
6001 Endonuclease domain-containing 1 protein	59.78	ENDD1_HUMAN	65 CD59 glycoprotein	61.29	CD59_HUMAN
7819 Gamma-glutamyltranspeptidase 2	61.13	GGT2_HUMAN	10352 CD99 antigen-like protein 2	68.88	C99L2_HUMAN
7704 Hemopexin	71.29	HEMO_HUMAN	4260 Collagen alpha-1(I) chain	72.45	CO1A1_HUMAN
1235 Ig alpha-1 chain C region	99.2	IIGHA1_HUMAN	1387 Complement decay-accelerating factor	67.86	DAF_HUMAN
803 Ig kappa chain V-III region VG (Fragment)	67.47	KV309_HUMAN	10156 Desmoglein-1	82.21	DSG1_HUMAN
2731 Inter-alpha-trypsin inhibitor heavy chain H4	69.15	ITIH4_HUMAN	2552 Dihydrolipoyllysine-residue succinyltransferase compc	62	ODO2_HUMAN
360 Kininogen-1	60.13	KNG1_HUMAN	2359 Di-N-acetylchitobiase	42.43	DIAC_HUMAN
2792 Leucine-rich alpha-2-glycoprotein	58.84	A2GL_HUMAN	575 Endosialin	49.96	CD248_HUMAN
7357 Plasma protease C1 inhibitor	108.1	IC1_HUMAN	117 Extracellular sulfatase Sulf-2	71.82	SULF2_HUMAN
2569 Polymeric immunoglobulin receptor	66.99	PIGR_HUMAN	7598 Fibroblast growth factor receptor 1	74.79	FGFR1_HUMAN
4297 Pro-epidermal growth factor	43.17	EGF_HUMAN	24890 Fibronectin	112.91	FINC_HUMAN
1521 Serotransferrin	100.48	TRFE_HUMAN	15569 Hornerin	74.97	HORN_HUMAN
4441 Transthyretin	72.28	TTHY_HUMAN	27629 Junction plakoglobin	49.88	PLAK_HUMAN
3621 Vasorin	84.63	VASN_HUMAN	1959 Membrane protein FAM174A	50.89	F174A_HUMAN
834 Vesicular integral-membrane protein VIP36	60.43	LMAN2_HUMAN	22770 Multimerin-2	56.91	MMRN2_HUMAN
			4339 Neurosecretory protein VGF	61.87	VGF_HUMAN
			1322 Peptidase inhibitor 15	51.18	PI15_HUMAN
			44 Phosphoinositide-3-kinase-interacting protein 1	115.93	P3IP1_HUMAN
			21693 Prostaglandin E2 receptor EP3 subtype	58.78	PE2R2_HUMAN
			1704 Protein shisa-5	69.38	SHSA5_HUMAN
			2044 Secretogranin-1	94.85	SCG1_HUMAN
			9048 Sodium/nucleoside cotransporter 1	58.24	S2A1_HUMAN
			16909 Sulphydryl oxidase 1	41.62	QSOX1_HUMAN
			1556 Syndecan-1	63.94	SDC1_HUMAN
			11789 Tenascin-X	74.88	TENX_HUMAN
			3068 Thrombospondin-1	110.26	TSP1_HUMAN
			26043 Thrombospondin-4	59.71	TSP4_HUMAN
			1882 Trefoil factor 3	48.86	TFF3_HUMAN
			2537 Tumor necrosis factor receptor superfamily member 1	76.3	TNR14_HUMAN
			12541 Tumor-associated calcium signal transducer 2	63.56	TACD2_HUMAN

表9 白人と日本人で共通してばらつきの要因となったペプチドとそのMolecular Functions

Molecular Function								Molecular Function							
Prot Description - Right Side PCA	Score	Accession						Prot Description - Left Side PCA	Score	Accession					
1368 Alpha-1B-glycoprotein	68.41	A1BG_HUMAN						2025 Amyloid beta A4 protein	48.5	A4_HUMAN					
15586 Alpha-N-acetylglucosaminidase	54.66	ANAG_HUMAN						12159 Basement membrane-specific heparan sulfate proteoglycan core protein binding protein	51.98	PGBM_HUMAN					
4092 Biotinidase	94.95	BTD_HUMAN						149 OD59 glycoprotein	83.94	CD59_HUMAN					
9042 Complement C1r subcomponent-like protein	40.23	C1RL_HUMAN						6153 Collagen alpha-1(I) chain	75	CO1A1_HUMAN					
8912 Endonuclease domain-containing 1 protein	43.37	ENDD1_HUMAN						180 Extracellular sulfatase Sulf-2	85.3	SULF2_HUMAN					
1116 Hemopexin	51.37	HEMO_HUMAN						2468 Membrane protein FAM174A	45.04	F174A_HUMAN					
7390 Ig kappa chain V-III region VG (Fragment)	40.04	KV309_HUMAN						216 Phosphoinositide-3-kinase-interacting protein 1	69.04	P3IP1_HUMAN					
10615 Inter-alpha-trypsin inhibitor heavy chain H4	58.45	ITIH4_HUMAN						8801 Prostaglandin E2 receptor EP3 subtype	53.37	PE2R3_HUMAN					
6326 Leucine-rich alpha-2-glycoprotein	48.77	A2GL_HUMAN						4161 Sodium/nucleoside cotransporter 1	65.71	S28A1_HUMAN					
681 Vesicular integral-membrane protein VIP36	80.83	LMAN2_HUMAN	NA					1102 Syndecan-1	81.24	SDC1_HUMAN					
								4109 Tenascin-X	80.07	TENX_HUMAN					
								1273 Thrombospondin-1	96.9	TSP1_HUMAN					
								1177 Tumor necrosis factor receptor superfamily member 18	83.76	TNR16_HUMAN					
								5437 Tumor-associated calcium signal transducer 2	63.93	TACD2_HUMAN					

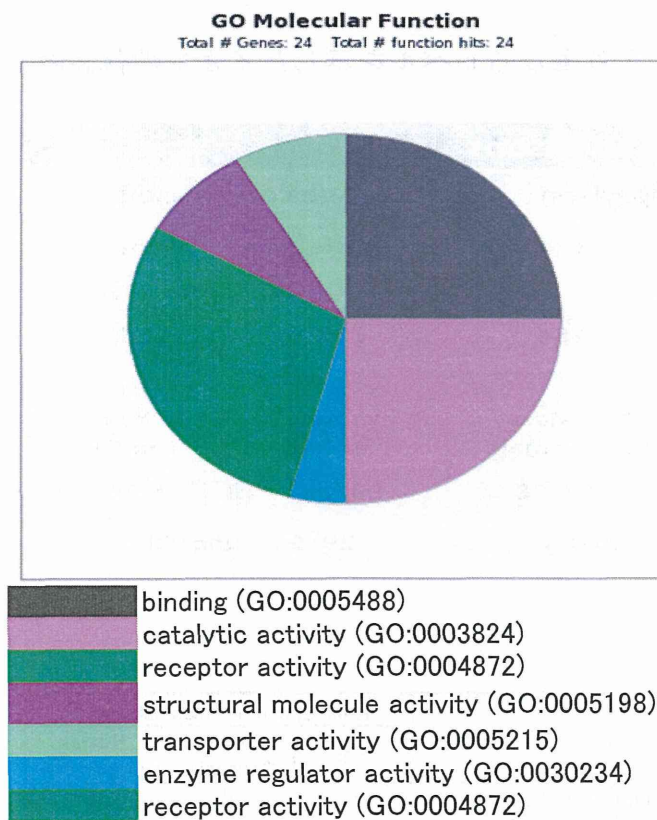


表10 ラットで食餌の有無、採血時間、絶食時間により異なるレベルを示したイオン性代謝物

Statistical Comparisons				
	食事の有無 (vs fed)		採血時間 (22 hr AM vs 22 hr PM)	絶食時間 (16 hr AM vs 22 hr AM)
	16 hr AM	22 hr AM		
Number of statistically different levels of metabolites P < 0.05	156	163	47	4
Direction of differences and metabolite numbers	90 (↑ by fasting) 69 (↓ by fasting)	96 (↑ by fasting) 73 (↓ by fasting)	23 (AMで↑) 24 (PMで↑)	2 (16 hrで↑) 2 (22 hrで↑)

表11 ラットで試料背景差（性差・年齢差）により異なるレベルを示したイオン性代謝物

Statistical Comparisons				
	Gender comparison		Age comparison	
	Young	Old	Male	Female
Number of statistically different levels of metabolites P < 0.05	119	154	109	93
Direction of differences and metabolite numbers	↑ in Male / ↑ in Female 73/46	↑ in Male / ↑ in Female 48/106	↑ in Young / ↑ in Old 93/16	↑ in Young / ↑ in Old 36/57
Common	38-39 (Male-Female)		29-9 (Young-Old)	

表12 検出された脂質代謝物のクラスと主な分子種

Lipid types	Detected ion mode	Lipid classes	Number of molecules detected ¹⁾		
			Rat	Human (Caucasian)	Human (Japanese)
Glycerophospholipid	Negative	lysophosphatidylcholine (LPC)	9	9	6
		lysophosphatidylethanolamine (LPE)	1	2	0
		phosphatidylcholine (PC)	40	34	35
		ether-type PC (ePC)	4	20	19
		phosphatidylethanolamine (PE)	4	9	7
		ether-type PE (ePE)	3	9	16
		phosphatidylinositol (PI)	7	8	9
Sphingolipid	Negative	sphingomyelin (SM)	14	22	26
		ceramide (Cer)	5	7	4
		hexosylceramide (HexCer)	1	8	6
Neutral lipid (Simple lipid)	Positive	cholesterol/cholesterol ester (Ch/ChE)	26	13	ND
		diacylglycerol (DG)	10	7	ND
		triacylglycerol (TG)	101	79	ND
		coenzyme Q (CoQ)	1	1	ND
Poly unsaturated fatty acids (PUFAs) and their metabolites	Negative	arachidonic acid (AA) and its metabolites	18	13	22
		eicosapentaenoic acid (EPA) and its metabolites	8	4	8
		docosahexaenoic acid (DHA) and its metabolites	10	6	8
total			262	251	166

ND, not determined yet

表13 白人血液中の内在性脂質代謝物濃度に及ぼす試料採取条件(血漿・血清差、男女差、年齢差)及び試料保管条件(凍結融解の回数)の影響

Statistical Comparisons							
Wilcoxon signed-rank test (matrix, freeze thaw) Mann-Whitney U-test (gender, age)	Matrix comparison: 14h fast		Gender Comparison: 14h fast, plasma		Age comparison: 14h fast, plasma		Freeze Thaw: CMY plasma 10 times 2 times
	serum (CMY) plasma	serum (CFY) plasma	CFY CMY	CFO CMO	CMO CMY	CFO CFY	
Total biochemicals (251 in total) <i>p</i> <0.05	34 (14%)	82 (33%)	16 (6%)	61 (24%)	8 (3%)	81 (32%)	201 (80%)
Biochemicals (Increase Decrease)	23 11 (9%) (4%)	73 9 (29%) (4%)	10 6 (4%) (2%)	56 5 (22%) (2%)	8 0 (3%) (0%)	78 3 (31%) (1%)	7 194 (3%) (77%)
Phospholipids (91 in total)	7 3	11 1	0 4	25 0	1 0	29 0	0 85
Sphingolipids (37 in total)	0 0	3 1	10 0	21 0	0 0	4 0	0 27
Neutral lipids (100 in total)	6 2	50 2	0 1	10 0	4 0	45 0	7 59
PUFAs and metabolites (23 in total)	10 6	9 5	0 1	0 5	3 0	0 3	0 23
Common Biochemicals (Increase Decrease)	22 6 (9%) (2%)		9 1 (4%) (0.4%)		4 0 (2%) (0%)		

表14 日本人血液中の内在性脂質代謝物濃度に及ぼす試料採取条件(男女差、年齢差)及び人種差の影響

Statistical Comparisons						
Mann-Whitney U-test	Gender Comparison: 14h fast, plasma		Age comparison: 14h fast, plasma		Ethnic comparison: 14h fast, plasma	
	JFY JMY	JFO JMO	JMO JMY	JFO JFY	CMY JMY	AMY JMY
Total biochemicals <i>p</i> ≤0.05	10 (6%)	21 (13%)	49 (30%)	39 (23%)	45 (35.2%)	60 (46.9%)
Biochemicals (Increase Decrease)	10 0 (6.0%) (0%)	18 3 (11%) (2%)	46 3 (28%) (2%)	32 7 (19%) (4%)	15 30 (12%) (23%)	39 21 (30%) (16%)
Phospholipids (92 in total)	9 0	7 2	32 3	18 6	15 22	38 16
Sphingolipids (36 in total)	1 0	11 0	5 0	6 1	0 8	1 5
Neutral lipids	ND	ND	ND	ND	ND	ND
PUFAs and metabolites (38 in total)	0 0	0 1	9 0	8 0	ND	ND
Common Biochemicals (Increase Decrease)	1 0 (0.8%) (0%)		20 3 (10%) (2%)		15 19 (12%) (15%)	

ND, not determined yet

表15 ラット血漿中の内在性脂質代謝物濃度に及ぼす試料採取条件(雌雄差・週齢差・食餌状態及び採血時間)の影響

Statistical Comparisons						
Welch's Two-Sample t-Test	Gender Comparison: 16h fast, AM collection		Age comparison: 16h fast, AM collection		Fasting status:	Time of sample collection:
	F 10wk (G2) M 10wk (G1)	F 30wk (G4) M 30wk (G3)	M 30wk (G3) M 10wk (G1)	F 30wk (G4) F 10wk (G2)	NF AM (G5) 16h AM (G1)	22h PM (G7) 22h AM (G6)
Total biochemicals (262 in total) <i>p</i> <0.05	110 (42%)	142 (54%)	76 (29%)	101 (39%)	183 (70%)	17 (6.5%)
Biochemicals (Increase Decrease)	59 51 (23%) (19%)	111 31 (42%) (12%)	15 61 (6%) (23%)	98 3 (37%) (1%)	148 35 (56%) (13%)	6 11 (2%) (4%)
Phospholipids (68 in total)	28 8	46 1	3 21	18 0	44 2	0 6
Sphingolipids (20 in total)	13 4	14 2	1 6	8 0	3 4	0 1
Neutral lipids (138 in total)	15 38	30 27	11 16	71 1	96 13	6 4
PUFAs and metabolites (36 in total)	3 1	21 1	0 18	1 2	5 16	0 0
Common Biochemicals (Increase Decrease)	41 26 (16%) (10%)		14 2 (5%) (1%)			

【研究のアウトライン】

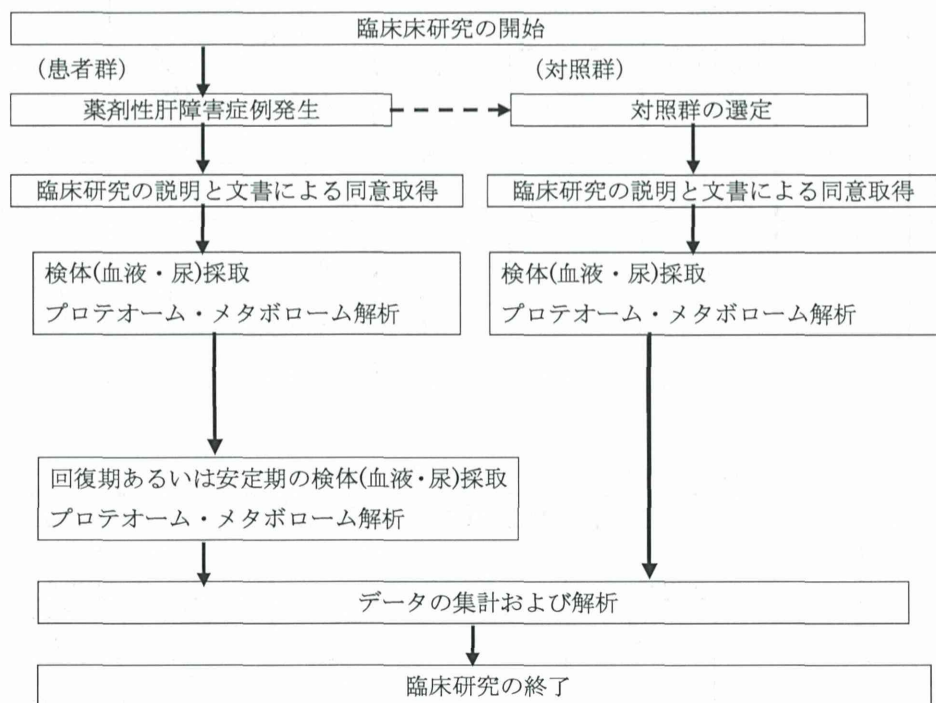


図 1 臨床研究登録とデータベース化のフローチャート

薬剤性肝障害診断基準 [DDW-J 2004] (臨床研究実施計画書・参考資料1)				
	肝臓組織型	胆汁うっ滞または混合型	スコア	
1. 症状での基準				
a. 患者の死因の場合	初発投与 再投与	初回投与 再投与		
投与開始からの日数	5～90日 <5日, >90日	1～15日 <5日, >90日	1～90日 >90日	+2 +1 +2
b. 患者中止後の死因の場合	10日以内 投与中止後の日数	15日以内 >15日	30日以内 >30日	+1 0
c. 酶値	ALTがビーカー値と正常上限との差 投与中止後のデータ	ALTがビーカー値と正常上限との差 #日以内に50%以上の減少 (無基準なし)	ALTがビーカー値と正常上限との差 30日以内に50%以上の減少 180日以内に50%以上の減少 (無基準なし)	+3 +2 +1 0
d. 飲酒および干渉			0	
e. 血清酵素	肝臓組織型	胆汁うっ滞または混合型		
飲酒あり	飲酒あり	飲酒または既往あり	+1	
飲酒なし	飲酒	飲酒なし	0	
f. 薬物以外の原因での死因	カテゴリー1, 2がすべて除外 カテゴリー1で既往有りすべて除外 カテゴリー1で4つまでが除外 カテゴリー1の除外が3つ以下 薬物以外の原因が裏親		+2 +1 0 -2 -3	
g. 死後の肝組織の検査	通常の剖検あり、もしくは添付文書に記載		+1	
h. 肝臓組織型(±%)	なし		0	
i. ALT	陽性		+2	
陰性			+1	
検査および実行			0	
j. 薬物投与による既往の既往歴	肝臓組織型	胆汁うっ滞または混合型		
既往投与牛	ALT正常	ALT(T, BIL)正常	+3	
初期肝障害時の併存薬と共に再投与	ALT正常	ALT(T, BIL)異常	+1	
初期肝障害時に既存で再投与	ALT異常も正常域	ALT(T, BIL)増加するも正常域	-2	
異常の再投与なし、または既往歴			0	
		総合スコア		

1) 薬物投与中に発現した場合は「無基準なし」。既往までの経過が不明確な場合は「既往干渉なし」と判断して、スコアリングの対象としない。
投与中の死因か、既往中止後の死因ににより、またはどちらかのスコアを適用する。
2) カテゴリー1: HAV, HEV, HCV, 加藤病原(US), アルコール, ショック等
カテゴリー2: CMV, EBV
ウイルス性HCV, HAV既往, HBs抗原, IgM CMV抗体, IgM EBV VCA抗体で判断する。

<判定基準> 使用スコア2点以下: 可能性低い、3, 4点: 可能性あり、5点以上: 可能性が高い

薬剤性肝障害発現時における新規バイオマーカー開発に関する探索的研究

【連絡先】

① 研究責任者
日高 央(消化器内科学)
PHS : 52-3247

② 研究協力者
熊谷雄治(医学部附属臨床研究センター)
TEL : 52-2737

③ 研究協力者
新開淑子(医学部附属臨床研究センター)
TEL : 51-8250 or 51-9547

④ 検体処理担当者
竹内敦子(消化器内科学)
PHS : 52-3286 or TEL : 52-2449

図 2 薬物性肝障害症例登録のためのポケットメモ (表面)